

جداسازی و تخلیص آنزیم گزیلاناز (EC:3.2.1.8) از باکتری باسیلوس استئاروتروموفیلوس (ATCC12980) و مقایسه‌ی کارایی آن در هیدرولیز گزیلان درخت غان و جو دوسر

زهره فائزیزاده^۱

امیر قریب^۲

تاریخ دریافت: ۸۹/۱۱/۲۲

تاریخ تصویب: ۹۰/۱۰/۶

چکیده

ماده‌ی گزیلان یک پایی ساکارید ناهمگن است که بخش عملده‌ی همی‌سلولز دیواره‌ی سلولی گیاهان را تشکیل می‌دهد. گزیلاناترازها (EC 3.2.1.8) آنزیم‌هایی هستند که از گونه‌های مختلف میکرووارگانیسم‌ها استخراج شده‌اند و می‌توانند پیوند گزیلوزیدی اسکلت گزیلان را تجزیه و گزیلوز و سایر مونوساکاریدها را تولید کنند.

در این تحقیق ابتدا آنزیم گزیلاناتراز از باکتری باسیلوس استئاروتروموفیلوس (ATCC 12980) به‌وسیله‌ی رسوب با سولفات آمونیوم، کروماتوگرافی ژل فیتراسیون با سفادکس G-100 و کروماتوگرافی تعویض یونی با دی‌اتیل آمینو اتیل-سلولز تخلیص شد و کارایی آن در هیدرولیز دونوع گزیلان (گزیلان درخت غان و گزیلان جو دوسر) مطالعه شد. کروماتوگرافی ستونی دی‌اتیل آمینو اتیل-سلولز در سه پیک مجزا مشاهده شد که فقط یک پیک فعالیت گزیلاناترازی نشان داد و درجه‌ی تخلیص به‌دست آمده از فرآکسیون‌های این پیک معادل ۶۴٪ تعیین شد.

فعالیت ویژه‌ی آنزیم تخلیص شده برابر با ۸۷٪ واحد بین‌المللی بر میلی گرم به‌دست آمد و بازده تخلیص آن ۱۷/۴۵ درصد تعیین شد. مقدار هیدرولیز گزیلان درخت غان و گزیلان جو دوسر با این آنزیم به ترتیب، ۱۰۰ و ۵۶٪ درصد در مدت ۲۴ ساعت بود. با توجه به نتایج به‌دست آمده مشخص شد که استفاده از آنزیم گزیلاناتراز تخلیص شده در صنایعی که در آن‌ها از چوب درخت غان استفاده می‌شود، مناسب است.

واژه‌های کلیدی: باسیلوس استئاروتروموفیلوس، گزیلاناتراز، تخلیص، گزیلان.

مقدمه

همچنین یک منبع مناسب برای تولید آنزیم‌های مقاوم به گرمادار کاربردهای صنعتی است (Jommehbout et al. 2009).

در صنایع مختلف، مانند صنعت کاغذسازی و تغذیه‌ی دام، چوب درختان و سبوس غلات کاربردهای گوناگون دارد که برای تجزیه‌ی گزیلان موجود در ترکیبات ذکر شده از آنزیم گزیلاناز استفاده می‌شود (Collins et al. 2005). هدف از این کار تحقیقی بررسی میزان تأثیر آنزیم گزیلاناز تخلیص شده روی دو نوع گزیلان (گزیلان چوب درخت غان و گزیلان سبوس جو دوسر) است تا مشخص شود که این آنزیم در کدام صنعت (کاغذسازی یا تهیه‌ی غذای دام) کارایی بیشتری دارد. در این پژوهه ابتدا آنزیم گزیلاناز از باکتری باسیلوس استئاروتروموفیلوس (ATCC 12980) تخلیص شد و سپس توانایی آن در تجزیه‌ی دو نوع گزیلان ذکر شده بررسی و با یکدیگر مقایسه شد.

مواد و روش‌ها
تهیه‌ی باکتری باسیلوس استئاروتروموفیلوس ATCC 12980 و کشت آن: باکتری باسیلوس استئاروتروموفیلوس (ATCC 12980) از شرکت Rockville آمریکا خریداری شد. این باکتری در محیط کشت مایع اختصاصی برای تولید بهینه‌ی آنزیم گزیلاناز کشت شد. برای تهیه‌ی یک لیتر از این محیط کشت در یک اrlen، ۱۰ گرم گزیلان، ۲۰ گرم پلی‌پیتون، ۲/۵ گرم عصاره‌ی مخمر، ۲ گرم نیتریت آمونیوم، ۲ گرم فسفات

آنزیم گزیلاناز (EC:3.2.1.8) را باکتری‌ها و قارچ‌های ترموفیلیک گیاهی تولید می‌کنند (Collins et al., 2005) همی‌سلولز متعلق به کربوهیدرات‌های غیرنشاسته‌ای را هیدرولیز کند (Chuan et al., 2009). در سال‌های اخیر کاربرد صنعتی این آنزیم توجه بسیاری از محققین دنیا را به خود جلب کرده است و آنزیم فوق در صنایع مختلف، مانند صنعت کاغذسازی (در بی‌رنگ‌سازی کاغذ)، در شفاف کردن روغن‌های خوراکی و تبدیل سوخت‌های جامد به مایع استفاده شده است (Shrivastava et al. 2009; Lee et al. 2009). محققین این آنزیم را از منابع مختلف باکتریایی و قارچی جدا کردند و مشخص شد که میزان فعالیت این آنزیم و مقدار آن در منابع مختلف متفاوت است (Ohbuchi et al. 2009). گزیلانازهای استخراج شده از باکتری‌ها، کاتالیزورهای هیدرولیز کننده‌ی گزیلان، نسبت به سایر گزیلانازها به علت‌هایی نظیر عملکرد بسیار اختصاصی و تولید محصولات جانبی بیشتر اهمیت دارند. باسیلوس استئاروتروموفیلوس، یک باکتری گرمادوست است و یکی از عوامل فساد محصولات غذایی است (Rahman et al. 2009; German et al. 2009). سوش استاندارد ATCC 12980 این باکتری از نظر صنعتی منبعی برای تولید آنزیم اندونوکلئاز *BstPI* است (Parkkinen et al. 2004). این باکتری در نوارهای کاغذی، یک شناساگر بیولوژیکی است که برای عمل استریلیزاسیون به کار برده می‌شود،

کروماتوگرافی ($2/7 \times 100\text{ cm}$) حاوی سفاد کس $G-100$ در تعادل با بافر فسفات پتاسیم ($0/05$ مولار و $\text{pH}=7$) اضافه شد، سپس ستون با بافر فسفات پتاسیم ($0/05$ مولار و $\text{pH}=7$) با سرعت جریان 120 میلی‌لیتر در ساعت شست و شو داده شد و محلول خروجی به وسیله‌ی دستگاه نمونه‌بردار خودکار^۱ جمع آوری شد. جذب نمونه‌ها در طول موج 280 نانومتر با دستگاه اسپکتروفتومتر مرئی-ماورای بنتش برای بررسی وجود پروتئین خوانده شد و فراکسیون‌های با فعالیت گزیلانازی با یکدیگر مخلوط شده و به مدت 24 ساعت در مقابل بافر فسفات پتاسیم ($0/05$ مولار و $\text{pH}=7$) دیالیز شدند. این مخلوط تا حجم 10 میلی‌لیتر با استفاده از دستگاه روتاری اوپوراتور در شرایط خلا^۲ تغليظ شد (Roy et al. 2003).

کروماتوگرافی ستونی تعویض یونی: محلول آنزیمی تغليظ شده از مرحله‌ی ژل فیلتراسیون به ستون کروماتوگرافی ($1/5 \times 40\text{ cm}$) حاوی DEAE-سلولز که در حال تعادل با بافر فسفات پتاسیم ($0/05$ مولار با $\text{pH}=7$) بود، اضافه شد، سپس بافر فسفات پتاسیم ($0/05$ مولار با $\text{pH}=7$) با سرعت جریان 25 میلی‌لیتر در ساعت از ستون عبور داده شد. پس از عبور دادن 1500 میلی‌لیتر از بافر مذکور از ستون، گرادیان $0/25$ مولار NaCl به وسیله‌ی بافر فسفات پتاسیم ($0/05$ مولار با $\text{pH}=7$) حاوی NaCl از ستون عبور داده شد و فراکسیون‌های خارج شده با دستگاه فراکشن کالکتور

مونوپتاسیک، 1 گرم سولفات منیزیم آبدار و $0/05$ گرم سولفات منگنز ریخته شد و حجم آن با آب مقطر به یک لیتر رسانده شد و pH آن روی 7 تنظیم شد (Nanmori et al. 1990).

استخراج و تخلیص آنزیم گزیلاناز: آنزیم گزیلاناز از محیط کشت باکتری مذکور به روش Roy et al. (2003) استخراج و تخلیص شد.

جداسازی آنزیم گزیلاناز از محیط کشت: به طور خلاصه در این روش محیط کشت حاوی باکتری به مدت 48 ساعت در دمای 60 درجه‌ی سانتی گراد انکوبه شد و در تمام این مدت، محیط کشت به وسیله‌ی دستگاه شیکر مخلوط شد. محیط کشت مذکور در دمای 4°C با دور 10000 g به مدت 10 دقیقه سانتریفوژ شد، سپس به محلول شفاف رویی به دست آمده سولفات آمونیوم اشباع اضافه شد و با دور 10000 g به مدت 20 دقیقه سانتریفوژ شد. رسوب به دست آمده‌ی حاوی آنزیم گزیلاناز در 100 میلی‌لیتر بافر فسفات پتاسیم ($0/05$ مولار و $\text{pH}=7$) حل شد و به ازای 5 لیتر از همان بافر به مدت 5 تا 10 ساعت در دمای 4 درجه‌ی سانتی گراد دیالیز شد (Roy et al. 2003).

تخلیص آنزیم گزیلاناز: تخلیص آنزیم گزیلاناز در دو مرحله‌ی مجرزای کروماتوگرافی ستونی ژل فیلتراسیون و کروماتوگرافی تعویض یونی انجام شد (Roy et al. 2003).

کروماتوگرافی ستونی ژل فیلتراسیون: محلول دیالیز شده حاوی آنزیم، به ستون

مقدار آنزیمی که می‌تواند در مدت زمان یک دقیقه یک میکرومول قند D-گزیلاناز را از سوبستراتی گزیلان در شرایط استاندارد (دماه ۶۰ درجه سانتی گراد و pH=۷) آزاد کند.

اندازه گیری مقدار پروتئین: مقدار پروتئین نمونه‌ها در تمام مراحل این کار تحقیقاتی بر اساس روش لاوری Lowry و همکارانش (Lowry et al. 1951).

الکتروفوروز ژل پلی آکریل آمید (SDS-PAGE): مراحل مختلف تخلیص آنزیم گزیلاناز با روش الکتروفوروز ژل پلی آکریل آمید بررسی شد. درصد ژل پایین ۱۲/۵ درصد انتخاب شد (Laemmli 1970; Mathlouthi et al. 2003).

اندازه گیری درصد هیدرولیز دو نوع گزیلان با گزیلاناز تخلیص شده: در این مرحله از پروژه تحقیقاتی از روش Khasin و همکارانش استفاده شد (Khasin et al. 1993). در یک لوله‌ی آزمایش محلولی شامل یک واحد بین‌المللی از آنزیم گزیلاناز در ۰/۵ میلی‌لیتر بافر فسفات پتابسیم (۰/۰۵ مولار و pH=۷) تهیه شد و به آن ۲۵ میلی‌گرم گزیلان چوب درخت غان اضافه شد. لوله‌ی آزمایش پس از به هم زدن محتويات آن به مدت دو ساعت در دماه ۶۰ درجه‌ی سانتی گراد قرار داده شد و سپس مقدار D-گزیلانز تولید شده در آن، با استفاده از نمودار استاندارد بر حسب میکرومول محاسبه شد، سپس با استفاده از معادله‌ی زیر درصد هیدرولیز گزیلان مذکور با آنزیم گزیلاناز در مدت یک ساعت اندازه گیری شد.

جمع آوری شد، سپس جذب فراکسیون‌های جداشده در طول موج ۲۸۰ نانومتر خوانده شد. در مرحله‌ی بعد فرآکشن‌های حاوی جذب از نظر فعالیت آنزیمی بررسی شدند (Roy et al. 2003).

اندازه گیری فعالیت آنزیم گزیلاناز: برای اندازه گیری فعالیت آنزیم گزیلاناز در نمونه‌های به دست آمده از مراحل مختلف استخراج و تخلیص آنزیم از روش میلر استفاده شد (Miller. 1959). مقدار ۰/۵ میلی‌لیتر محلول نمونه در یک لوله‌ی آزمایش ریخته شد و ۰/۵ میلی‌لیتر سوسپانسیون گزیلان در بافر فسفات پتابسیم (۰/۰۵ مولار با pH=۷) به آن اضافه شد، سپس محتويات لوله با هم زن برقی مخلوط شد و در دماه ۶۰ درجه‌ی سانتی گراد برای ۳۰ دقیقه انکوبه شد. این مخلوط به سرعت در آب سرد حاوی یخ قرار داده شد و بعد از آن با دور ۱۰۰۰۰ g برای مدت ۳ دقیقه سانتریفیوژ شد. در این حالت گزیلان‌های تجزیه‌نشده با استفاده از آنزیم گزیلاناز رسوب کرد، سپس ۰/۵ میلی‌لیتر از محلول شفاف رویی درون یک لوله‌ی آزمایش ریخته شد و به آن ۰/۵ میلی‌لیتر محلول ۰/۵ درصد ۳ و ۵-دی‌نیتروسالیسیلیک اسید اضافه شد. بعد از آن لوله‌ی مذکور به مدت ۵ دقیقه درون بن‌ماری آب جوش قرار داده شد و محتويات آن با جریان آب، سرد شد. سرانجام با استفاده از دستگاه اسپکتروفوتومتر جذب نوری آن در طول موج ۵۳۵ نانومتر خوانده شد و با استفاده از نمودار استاندارد، فعالیت آنزیم مذکور در نمونه اندازه گیری شد. طبق تعریف، یک واحد آنزیم گزیلاناز عبارت است از:

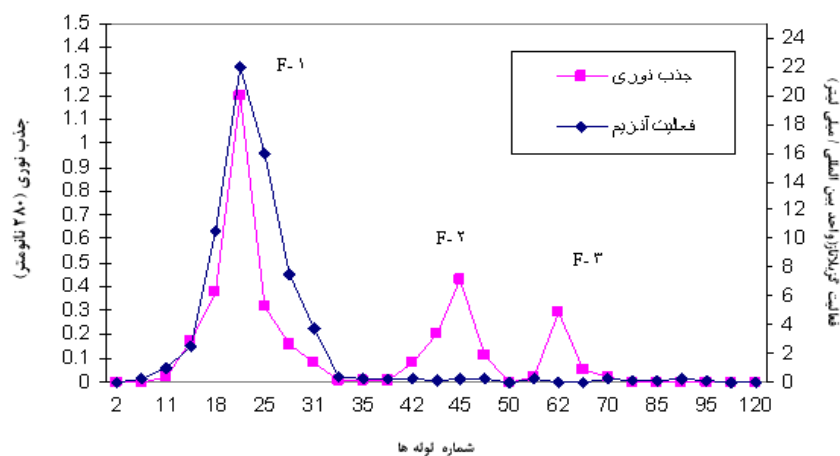
ساعت تکرار شد. در این تحقیق برای گزیلان جو دو سر نیز آزمایش فوق تکرار شد و نمودار تغییرات درصد هیدرولیز هر دو نوع گزیلان در ساعت مذکور رسم شد.

$$\frac{D}{\text{وزن گزیلان اولیه (میلی گرم)}} \times 100 \times 0/9 = \frac{\text{درصد هیدرولیز}}{\text{گزیلان}}$$

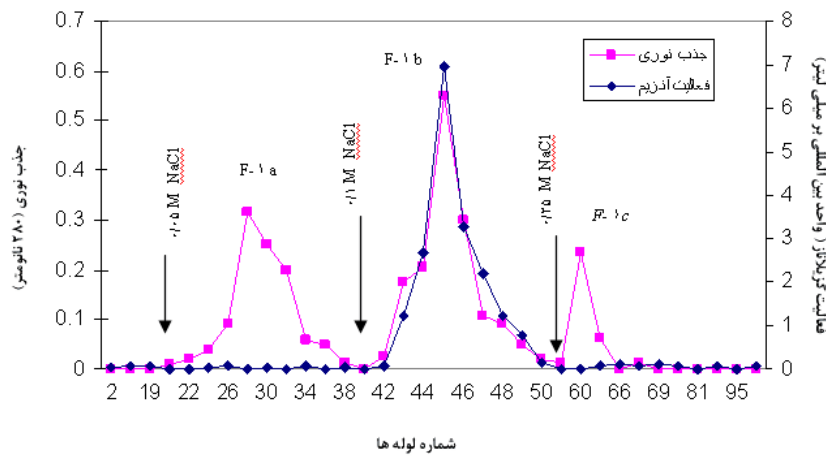
در این معادله عدد ۰/۹ فاکتوری ناشی از افزایش مولکولهای آب به سوبسترا در واکنش هیدرولیز است. همین عمل برای مدت زمانهای ۰ تا ۲۴ ساعت.

جدول شماره‌ی ۱. نتایج به دست آمده از مراحل مختلف استخراج و تخلیص آنزیم گزیلاناز

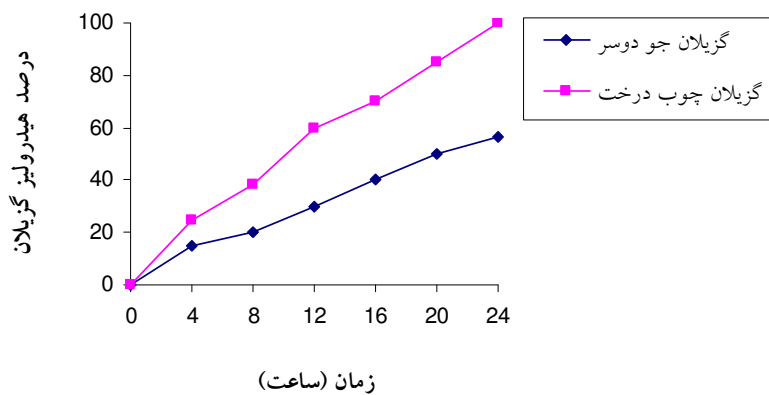
مراحل	حجم نهایی (ml)	توatal پروتئین (mg/ml)	فعالیت وینه (u/mg)	فعالیت کل (units)	باذد تخلیص (درصد)	مرتبه حالص سازی
مرحله‌ی جداسازی سلولهای باکتری از محیط کشت	۹۳۲/۸	۴۷۰	۱/۳۹	۶۵۳	۱۰۰	۱
مرحله‌ی رسوب با سولفات آمونیوم	۵	۱۲۵	۲/۸۸	۳۶۰	۵۶/۶۹	۲/۰۷
کروماتوگرافی ژل فیلتر اسیون با- G- 100	۴۲	۸	۳۸/۷۵	۳۱۰	۴۷/۴۷	۳۷/۸۷
کروماتوگرافی با DEAE-Cellulose	۱۶	۱/۳	۸۷/۷	۱۱۴	۱۷/۴۵	۶۳/۰۹



نمودار شماره‌ی ۱. کروماتوگرافی ژل فیلتر اسیون ۱۲۵ میلی‌گرم پروتئین به دست آمده از مرحله‌ی رسوبات با سولفات آمونیوم روی ستون سفاد کس G-100 به ابعاد $2/5 \times 10/2$ سانتی‌متر در تعادل با بافر فسفات پتاسیم $0/05$ مولار با $pH=7$ و سرعت جریان ۱۲۰ میلی‌لیتر در ساعت.



نمودار شماره‌ی ۲. کروماتوگرافی تعویض یونی پیک F-1 حاصل از مرحله‌ی ژل فیلتراسیون روی ستون DEAE- سلولز به ابعاد $1/5 \times 40 \times 40$ میلی‌لیتر در ساعت. سانتی‌متر) در تعادل با بافر فسفات پتاسیم و گرادیان نمکی $0 \rightarrow 0.25 \text{ M NaCl}$ و سرعت جريان 30 ml/h .



نمودار شماره‌ی ۳. تغییرات درصد هیدرولیز دو نوع گریلان با آنزیم گریلاناتاز در مدت ۲۴ ساعت

جداسازی در ۲۸۰ نانومتر نشان داد که هر سه پیک مذکور پروتئین است؛ ولی فقط فراکسیون‌های موجود در پیک F-1 فعالیت گریلاناتازی بودند. فراکسیون‌های جمع‌آوری شده‌ی پیک F-1، حجمی معادل ۴۲ میلی‌لیتر داشتند که روی هم ریخته شدند و تا حجم ۱۰ میلی‌لیتر تغليظ شدند و برای انجام کروماتوگرافی تعویض یونی در مرحله‌ی بعد از

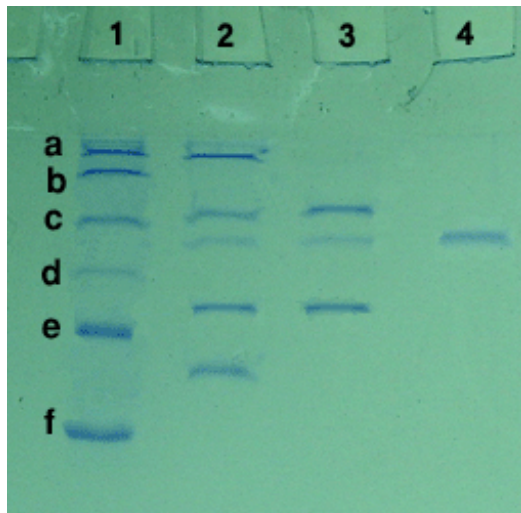
نتایج

نتایج به دست آمده از کروماتوگرافی ژل فیلتراسیون: نتایج حاصل از کروماتوگرافی ژل فیلتراسیون با سفادکس G-100 در نمودار شماره‌ی ۱ نشان داده شده است. همان‌طور که مشاهده می‌شود، این نمودار سه پیک F-1، F-2 و F-3 را نشان می‌دهد. بررسی جذب فراکسیون‌های

فراکسیون با حجم نهایی معادل ۱۶ میلی‌لیتر بود. فراکسیون‌های پیک F-1b پس از تغليظ با الکتروفورز SDS-PAGE ارزیابی شد. ایجاد یک باند پروتئینی روی ژل مذکور نشان‌دهندهٔ تخلیص آنزیم مذکور بود (شکل شماره‌ی ۱). مقدار فعالیت ویره و فعالیت کل آنزیم خالص‌شده در تمام مراحل خالص‌کردن آنزیم در جدول شماره‌ی ۱ مشاهده می‌شود.

آن‌ها استفاده شد. مقدار پروتئین تام در فراکسیون‌های پیک ۱ برابر با ۸ میلی‌گرم بر میلی‌لیتر بود (جدول شماره‌ی ۱).

نتایج به دست آمده از کروماتوگرافی تعویض یونی: نتایج کروماتوگرافی تعویض یونی ژل DEAE-سلولز در نمودار شماره‌ی ۲ نشان داده شده است. همان‌طور که مشاهده می‌شود، سه پیک ۲۸۰ مجزا، F-1a، F-1b و F-1c ایجاد شد که در ۲۸۰ نانومتر جذب داشتند؛ ولی فقط فراکسیون‌های پیک F-1b فعالیت گزیلانازی داشتند. این پیک، شامل ۸



شکل شماره‌ی ۱: الکتروفورز SDS-PAGE صفحه‌ای (slab) از مراحل مختلف استخراج و تخلیص آنزیم در صد ژلهای پایین و بالا، به ترتیب ۱۲/۵ و ۴ درصد و ولتاژ به کار گرفته شده برابر با ۱۲۰ ولت است. ستون ۲ نشان‌دهندهٔ پروتئین‌های موجود در رسوب به دست آمده با استفاده از سولفات آمونیوم است. ستون ۳ نشان‌دهندهٔ پروتئین‌های موجود در پیک ۱ به دست آمده از عمل کروماتوگرافی ژل فیلتراسیون است و در پایان، ستون ۴ نشان‌دهندهٔ آنزیم گزیلاناز تخلیص و تغليظ شده (پیک F-1b) ناشی از عمل کروماتوگرافی تعویض یونی روی ستون ۲ نشان دارد. در ستون ۱ نیز مارکرهای وزن مولکولی (به ترتیب، a=فسفریلاز b با وزن مولکولی ۹۴KD، c=آلبومین سرم گاوی با وزن مولکولی ۶۶KD، d=اکوالبومین با وزن مولکولی ۴۵KD، e=مهارکنندهٔ تریسپین سویا با وزن مولکولی ۲۰KD و f=لاکتالبومین با وزن مولکولی ۱۴/۴KD) قرار دارند که با توجه به وزن آن‌ها، وزن مولکولی آنزیم تخلیص‌شده تقریباً ۴۰ کیلو Dalton تعیین شد.

بیشتر از مقدار گزارش کرده‌ی ناموری و همکارانش (۱۱/۳ درصد) است. آن‌ها این آنزیم را از سوش جدیدی از باکتری پاسیلوس استئاروتروموفیلوس استخراج کرده‌اند (Nanmori et al. 1990). همچنین بازده مذکور (۱۷/۴۵ درصد) بیشتر از بازده گزارش کرده‌ی گوپتا (Gupta) و همکارانش (۵ درصد) است که آنزیم گزیلاناز را از سوش خاصی از باکتری استافیلوکوکوس (SG-B) جدا کرده‌اند (Gupta et al. 2000). این توجیه کننده‌ی چگونگی استفاده بیشتر از باکتری پاسیلوس استئاروتروموفیلوس نسبت به سایر باکتری‌ها برای تولید آنزیم گزیلاناز است. در ادامه‌ی این تحقیق وزن مولکولی آنزیم گزیلاناز تخلیص شده با استفاده از روش الکتروفورز ژل آکریل آمید و مارکرهای تعیین کننده‌ی وزن مولکولی به طور تقریبی معادل ۴۰ کیلودالتون به دست آمد. این وزن تقریباً معادل وزن مولکولی آنزیم گزیلاناز تخلیص کرده‌ی ناموری (Khasin) و همچنین خاسین (Khasin) و همکاران (Nanmori et al. 1990; Khasin et al. 1993) می‌توان نتیجه گرفت که وزن مولکولی آنزیم‌های گزیلاناز جداده از سوش‌های مختلف باکتری پاسیلوس استئاروتروموفیلوس تقریباً یکسان است؛ در حالی که وزن مولکولی این آنزیم در سوش‌های باکتری‌های دیگر، نظیر آریوموناس کاویه و پاسیلوس (Sp.) متفاوت است و به ترتیب معادل ۲۲ و ۳۶ کیلودالتون تعیین شده است (Ratanakhanok et al. 2000; 1999).

نتایج حاصل از اندازه‌گیری درصد هیدرولیز گزیلان چوب درخت غان و جو دو سر با آنزیم گزیلانافاز: با اثر دادن آنزیم گزیلاناز تخلیص شده بر دو نوع گزیلان مذکور در ساعات مختلف، درصد هیدرولیز هر دو نوع گزیلان تعیین شد. نمودار شماره‌ی ۳ نشان‌دهنده‌ی تغییرات درصد هیدرولیز گزیلان در زمان‌های ۰ تا ۲۴ ساعت است. همان‌طور که مشاهده می‌شود، بیشترین درصد هیدرولیز گزیلان (۱۰۰ درصد) مربوط به گزیلان چوب درخت غان در ۲۴ ساعت پس از انکوباسیون است. درصد هیدرولیز برای گزیلان جو دو سر در همین زمان معادل ۵۶/۸ درصد است.

بحث

در این تحقیق محیط کشت اختصاصی طبق روش ناموری (Nanmori) و همکارانش تهیه شد (Nanmori et al. 1990). این محیط کشت حاوی ترکیباتی نظیر گزیلان، عصاره‌ی مخرم، پلی‌پیتون و غیره بود و به ترتیب در سال‌های ۱۹۹۳ و ۱۹۹۸، Mandeva و Khasin از آن برای تولید بهینه‌ی آنزیم گزیلاناز استفاده کرده‌اند (Khasin et al. 1993 ; Mandeva et al. 1998). با استفاده از این محیط کشت اختصاصی، تولید آنزیم گزیلاناز به وسیله‌ی باکتری پاسیلوس استئاروتروموفیلوس به بیشترین مقدار می‌رسد (Collins et al. 2005; He et al. 2009; Meng et al. 2009). در این پروژه آنزیم گزیلاناز با روش روی (Roy) و همکارانش (Roy et al. 2003)، استخراج و تخلیص شد. بازده عمل در این روش حدود ۱۷/۴۵ درصد بود که

منابع

- Arora N., Banerjee A.K., Mutyala S. Murty U.S. (2009) “ Comparative characterization of commercially important xylanase enzymes” Bioinformation. 3(10): 446-53.
- Chanjuan L., Hong Y., Shao Z., Lin L., Huang X., Liu P., Wu G., Meng X., Liu Z. (2009) “ Novel Alkali-Stable, Cellulase-Free Xylanase from Deep-Sea Kocuria sp. Mn 22” J. Microbiol. Biotechnol. 19(9) :873-80.
- Collins T., Gerday C., Feller G. (2005) “ Xylanases, xylanase families and extremophilic xylanases” FEMS Microbiol. Rev. 29: 3-23.
- German D.P., Bittong R. A. (2009) “Digestive enzyme activities and gastrointestinal fermentation in wood-eating catfishes” J. Comp. Physiol. 179(8):1025-42.
- Gupta S., Bhushan B., Hoondal G.S. (2000) “Isolation, purification and characterization of xylanase from *Staphylococcus* sp.SG-B and its application in biobleaching of kraft pulp” J.Appl. Microbiol. 88: 325-334.
- He J., Yu B., Zhang K., Ding X., Chen D. (2009) “Expression of endo-1, 4-beta-xylanase from *Trichoderma reesei* in *Pichia pastoris* and functional characterization of the produced enzyme” BMC Biotechnol. 9 :56-61.

گزیلان‌ها که سوبسترای آنزیم گزیلاناز هستند، انواع مختلفی نظیر گزیلان چوب درخت غان و گزیلان (Collins et al. 2005) جو دو سر دارند مشخص شده است که درصد گزیلوز موجود در این نوع گزیلان‌ها با هم متفاوت است؛ مثلاً درصد این ماده در گزیلان چوب درخت غان بیش از ۹۰٪ و در گزیلان جو دو سر تقریباً معادل ۷۰٪ است. نتایج به دست آمده از این تحقیق نشان داد که درصد هیدرولیز گزیلان چوب درخت غان در مدت ۲۴ ساعت بیشتر از گزیلان جو دو سر است که علت آن با توجه به یافته‌های سایر محققان می‌تواند تفاوت در ساختمان بیوشیمیابی این دو نوع گزیلان و محتوی گزیلوز موجود در آن‌ها باشد (Collins et al. 2005).

(Arora et al. 2009 2005)

نتیجه‌گیری

با توجه به اینکه آنزیم تخلیص شده توانست گزیلان چوب درخت غان را در مدت ۲۴ ساعت به طور ۱۰۰ درصد هیدرولیز کند، پیشنهاد می‌شود که در صنایع مختلف، مانند صنعت کاغذسازی که در آن‌ها از چوب درخت غان استفاده می‌شود، از این آنزیم برای بالا بردن بازده و بهینه‌سازی محصول استفاده شود.

سپاس‌گزاری

اجرای این طرح تحقیقاتی با حمایت مالی معاونت پژوهشی دانشگاه آزاد اسلامی واحد بروجرد انجام شده است. از زحمت‌های یاریگران به اجرای تحقیق در این معاونت تشکر و قدردانی می‌کنم.

- Jommengbout P., Pinitglang S., Kyu K.L., Ratanakhanokchai K. (2009) “Substrate-binding site of family 11 xylanase from *Bacillus firmus* K-1 by molecular docking” Biosci. Biotechnol. Biochem. 73(4): 833-9.
- Kar S., Mandal A., Mohapatra K. (2006) “Production of cellulose-free xylanase by *trichoderma reesei* SAF3” Brazilian Journal of Microbiology. 37: 462-464.
- Khasin A., Alchanati I., Shoham Y. (1993) “Purification and characterization of a thermostable xylanase from *Bacillus stearothermophilus* T-6” Appl. Environ. Microbiol. 1725-1730.
- Laemmli U.K. (1970) “Cleavage of structural proteins during the assembly of the head of Bacteriophage T4” Nature. 227: 680 – 685.
- Lee J.M., Shin J.W., Nam J.K., Choi J.Y., Jeong C.S., Han I.S., Nam S.W., Choi Y.J., Chung D.K. (2009) “Molecular cloning and expression of the *trichoderma harzianum* C4 endo-beta-1, 4-Xylanase Gene in *Saccharomyces cerevisiae”* J. Microbiol. Biotechnol. 19(8): 823-8.
- Lowry H.H., Rosenbrough N.J. (1951) “Protein measurement with the folin Phenol reagent” J. Biol. Chem. 193: 265 – 275.
- Mandeva R., Dimitrov P., Emanuilova E. (1998) “General characteristics of two xylanolytic bacterial strains isolated from Bulgarian hot springs” J. Cul. Collections. 2: 3-9.
- Mathlouthi N., Mohamed M.A., Larbier M. (2003) “Effect of enzyme preparation containing xylanase and beta glucanase on performance of laying hens fed wheat/barley or maize/soybean meal-based diets” Br. Poult. Sci. 44:60– 66.
- Meng X., Shao Z., Hong Y., Lin L., Li C., Liu Z. (2009) “A Novel pH-Stable, Bifunctional Xylanase Isolated from a Deep-Sea Microorganism, *Demequina* sp. JK4” J. Microbiol. Biotechnol. 19 (10): 1077-84.
- Miller G.L. (1959) “Use of dinitrosalicylic acid reagent for determination of reducing sugar” Anal. Chem. 31: 238 – 44.
- Nanmori T., Watanabe T., Shinke, R., Kohno A., Kawamura Y. (1990) “Purification and properties of thermostable Xylanase and β -Xylanase produced by a newly isolated *Bacillus stearothermophilus* strain” Journal of Bacteriology: 6669-6672.
- Ohbuchi T., Takahashi T., Azumi N., Sakaino, M. (2009) “Structural analysis of neutral and acidic xylooligosaccharides from hardwood kraft pulp and their utilization by intestinal bacteria in vitro” Biosci. Biotechnol. Biochem. 73(9): 2070-6.
- Parkkinen T., Hakulinen N., Tenkanen M., Siika-aho M., Rouvinen J.

- (2004) " Crystallization and preliminary X-ray analysis of a novel *Trichoderma reesei* xylanase IV belonging to glycoside hydrolase family 5" *Acta Crystallogr. D: Biol. Crystallogr.* 60: 542–544
- Rahman Z., Shida Y., Furukawa T., Suzuki Y., Okada H., Ogasawara W., Morikawa Y. (2009) " Application of *Trichoderma reesei* cellulase and xylanase promoters through homologous recombination for enhanced production of extracellular beta-glucosidase I" *Biosci. Biotechnol. Biochem.* 73(5): 1083-9.
- Ratanakhanok C.K., Kyu K.L., Tanticharoen M. (1999) " Purification and properties of a Xylan-binding end oxylanase from alkaliphilic *Bacillus* sp. Strain k-1" *Appl. Environ. Microbiol.* 65(2), 694-697.
- Roy N., Rana M., Uddin S. (2003) "Isolation and some properties of new xylanase from the intestine of herbivorous insects (*Samia cynthia pryeri*)" *J.Biol.Sci.*4(1): 27-33.
- Shrivastava S., Poddar R., Shukla P., Mukhopadhyay K.(2009) " Study of codon bias perspective of fungal xylanase gene by multivariate analysis" *Bioinformation.* 27;3(10): 425-9.